



(11) RO 129488 B1

(51) Int.Cl.

G01N 3/42 (2006.01),

G01N 3/52 (2006.01),

G01N 3/48 (2006.01)

(12)

## BREVET DE INVENTIE

(21) Nr. cerere: **a 2012 00697**

(22) Data de depozit: **02.10.2012**

(45) Data publicării mențiunii acordării brevetului: **30.10.2015** BOPI nr. **10/2015**

(41) Data publicării cererii:  
**30.05.2014** BOPI nr. **5/2014**

(73) Titular:  
• UNIVERSITATEA DE ȘTIINȚE AGRICOLE  
ȘI MEDICINĂ VETERINARĂ "ION IONESCU  
DE LA BRAD" DIN IAȘI,  
ALEEA MIHAIL SADOVEANU NR.3, IAȘI, IS,  
RO

(72) Inventatori:  
• GUTT ANDREI, STR. VICTORIEI  
NR. 185 BIS, SAT SFÂNTU ILIE, SV, RO;  
• TENU IOAN, ALEEA MIHAIL SADOVEANU  
NR. 18 A, IAȘI, IS, RO;  
• VÂNTU VASILE,  
BD. ȘTEFAN CEL MARE ȘI SFÂNT NR. 10,  
BL.B 1, SC.A, ET.4, AP.11, IAȘI, IS, RO

(56) Documente din stadiul tehnicii:  
RO 122604 B1; US 2011/0226044 A1;  
EP 1203955 A1; RO 83074

(54) **APARAT PENTRU CARACTERIZAREA AVANSATĂ A  
COMPORTĂRII SOLULUI ÎN REGIM DE SOLICITARE  
DINAMICĂ**

Examinator: ing. COMĂNESCU ROMIȚA



Orice persoană are dreptul să formuleze în scris și  
motivat, la OSIM, o cerere de revocare a brevetului de  
invenție, în termen de 6 luni de la publicarea mențiunii  
hotărârii de acordare a acesteia

RO 129488 B1

1 Inventia se referă la un aparat destinat determinării comportării solului la solicitări  
2 dinamice, rezultatele fiind folosite la corelarea cu acțiunea organelor active de lucru de pre-  
3 lucrare ale acestuia.

4 În funcție de umiditatea solului, a structurii și texturii sale, solul arabil prezintă diferite  
5 caracteristici de rezistență mecanică și de comportare reologică, care influențează prelucra-  
6 bilitatea acestuia cu organe active de lucru, uzura organelor active de lucru, consumul ener-  
7 getic specific la prelucrare, contaminarea solului ca urmare a particulelor metalice rezultate  
8 prin abraziune la prelucrarea solului. Nu este lipsit de importanță nici faptul că prin caracte-  
9 risticile mecanice și reologice ale solului, este influențată germinația și viteza de creștere și  
10 dezvoltarea plantelor. În funcție de starea și compoziția solului, comportările acestuia din  
11 punct de vedere al rezistenței mecanice și al reologiei, pot fi de tip: corp solid fragil, corp  
12 solid elastoplastic, corp solid plastic, corp vâscoplastic.

13 La ora actuală, caracterizarea comportării mecanice și reologice a solului arabil se  
14 face prin metode indirecte, folosind corelați între adâncimea de penetrare a unui element  
15 căzător, umiditate, densitatea aparentă și structură. Dat fiind faptul că nici metoda și nici apa-  
16 ratele nu sunt standardizate internațional, prin norme de tip ISO sau EN, rezultatele încercă-  
17 rilor de sol nu sunt unitare și ca atare prezintă informații insuficiente reproductibile. La acest  
18 dezavantaj, se adaugă și acela că, în urma încercării de penetrare, rezultă o singură valoare  
19 caracteristică, respectiv, adâncimea de pătrundere, care nu dă informații asupra deformării  
20 solului, începând de la contactul elementului penetrator cu solul până la oprirea completă a  
21 deplasării acestuia de către rezistența opusă de sol.

22 Este cunoscut un document **RO 122604 B1**, care prezintă un aparat pentru încerca-  
23 rea materialelor în regim dinamic, alcătuit dintr-un penetrator aflat în legătură cu un senzor  
24 piezoelectric de forță dinamică și cu o contragreutate, o bobină și un arc, montate într-un tub  
25 de lansare, și un magnet ce susține contragreutatea, iar o parte electronică este legată de  
26 aparat printr-un cablu flexibil și are prevăzută o unitate de procesare a semnalelor la impact.

27 Este cunoscut documentul **US 2011/0226044 A1**, care dezvăluie un aparat portabil,  
28 alcătuit dintr-un dispozitiv electronic aflat în legătură cu un corp cilindric de penetrare a  
29 solului la capătul căruia se atașează un penetrator conic. Dispozitivul electronic este montat  
30 într-o carcăsă prevăzută cu mâner și conține circuite electronice de transfer al datelor către  
31 un computer, pentru prelucrarea datelor. Corpul cilindric este prevăzut cu un senzor de forță,  
32 care poate fi o celulă piezorezistivă de forță sau alt senzor ce măsoară forță.

33 Este cunoscut, de asemenea, **EP 1203955 A1**, ce dezvăluie un instrument de  
34 măsurare a parametrilor solului, prevăzut cu un penetrator cilindric, aflat în legătură cu dispo-  
35 zitive electronice de măsurare și transfer de date către un calculator, pentru procesarea  
36 datelor și care poate fi atașat și la un GPS.

37 Este cunoscut și documentul **RO 83074**, care prezintă o mașină de încercare la  
38 oboselă, la solicitări dinamice de încovoiere sau torsioane, ce este alcătuit dintr-un motor  
39 electric ce acționează un excentric reglabil și o bielă aflată în legătură cu un braț de antre-  
40 nare pe care se fixează un braț de măsurare, sprijinit, la rândul său, pe un resort și prevăzut  
41 cu două ceasuri comparatoare și cu un microîntrerupător. Deformarea resortului permite  
42 determinarea momentului de încovoiere și corespunzător duritatea materialului încercat și  
43 permite măsurători în condiții dinamice.

44 Problema tehnică pe care o rezolvă inventia constă în manevrarea corpurilor în  
45 cădere ale unui aparat, cu ajutorul căruia se poate caracteriza avansat comportarea solului  
46 atunci când este supus la cinci solicitări dinamice repetitive, efectuate în același loc cu un  
47 penetrator special, urmărindu-se și interpretând electronic dependența dintre valoarea forței  
48 de reacție a solului și valoarea adâncimii de pătrundere a penetratorului din momentul con-  
49 tactului acestuia cu solul până la oprirea completă a deplasării lui de către forță de frecare.

<p>Aparatul pentru caracterizarea avansată a comportării solului în regim de solicitare dinamică, conform inventiei, este aflat în legătură cu o unitate electronică ce asigură achiziția, procesarea și afișarea datelor măsurate și are tub metalic de lansare în care sunt montate niște greutăți de lovire interschimbabile și de mase diferite, prevăzute fiecare cu două inele toroidale pentru reducerea frecării și care au posibilitatea de a fi acționate printr-un mâner de ridicare și un mâner de lansare a unei pârghii prevăzute cu un buton de declanșare a căderii prin împingerea unui arc de compresiune și acționării unui contactor electric aflat în legătură cu un senzor inductiv de deplasare a penetratorului.</p> <p>Prin aplicarea inventiei, se obțin următoarele avantaje:</p> <ul style="list-style-type: none"> <li>- realizarea aparatului electronic mobil, echipat cu senzori de forță dinamică și senzor de deplasare, permite încercarea cu sarcină dinamică a solului și măsurarea instrumentală electronică a răspunsului acestuia la acest tip de solicitare;</li> <li>- procesarea electronică a semnalelor date de cei doi senzori, începând cu momentul impactului penetratorului cu solul până la frânarea completă a deplasării acestuia, permite determinarea unor caracteristici mecanice importante precum: rezistență dinamică la penetrare, modulul elastic dinamic de pătrundere, lucrul mecanic în regim de deformare dinamică.</li> </ul> <p>Se dă, în continuare, un exemplu de realizare a aparatului, în legătură cu fig. 1...6, care reprezintă:</p> <ul style="list-style-type: none"> <li>- fig. 1, secțiune prin aparatul pentru determinarea comportării solului în regim de solicitare dinamică, conform inventiei;</li> <li>- fig. 2, vedere a aparatului, cu detalii, pentru determinarea caracterizării comportării solului în regim de solicitare dinamică;</li> <li>- fig. 3, schema de principiu a aparatului pentru caracterizarea comportării solului în regim de solicitare dinamică;</li> <li>- fig. 4, curba caracteristică energie cinetică (<math>E_c</math>) - timp (t);</li> <li>- fig. 5, curba caracteristică adâncime de pătrundere (h) - forță dinamică de reacție (<math>F_d</math>);</li> <li>- fig. 6, curba caracteristică energie cinetică (<math>E_c</math>) - adâncime de pătrundere (h).</li> </ul> <p>Aparatul destinat determinării comportării solului la solicitări dinamice, conform inventiei, este destinat încercării mecanice a solurilor 1 agricole și se compune dintr-o talpă 2 grea din oțel, prevăzută cu o nivelă 3 circulară cu bulă de aer și care poate susține un penetrator 4 cilindric, cu cap sferic cu diametrul de 30 mm, ce este montat într-un portpenetrator 5 aflat în legătură cu un senzor 6 piezoelectric de forță dinamică, ce preia loviturile unui un corp 7 cilindric de lovire, prins printr-un șurub 8 de ghidare și aflat în legătură cu un senzor 9 inductiv de deplasare. Printr-un cablu 10 electric, de la senzorul 6, se culeg informațiile și se transmit spre niște conectori 11, 12 și 13 electrii. Într-un tub 14 metalic de lansare, prevăzut cu un canal C longitudinal, sunt amplasate trei greutăți 15, 16 și 17 de lovire, interschimbabile, de mase diferite, prevăzute fiecare cu două inele T toroidale, pentru reducerea frecării, iar un mâner 18 de ridicare și un mâner 19 de lansare au posibilitatea de acționare a unei pârghii 20 de blocare printr-un buton 21 de declanșare, legat de un arc 22 de compresiune, un contactor 23 electric, un modul 24 GPS conectat la o unitate 25 electronică centrală și optional la un calculator 26 electronic și o imprimantă 27 electronică.</p> <p>Modul de lucru cu aparatul conform inventiei este următorul:</p> <p>Se transportă aparatul la locul încercării, după care se niveleză locul prin deplasarea, prin curse scurte alternative, a tălpiei 2 grele din oțel, urmărindu-se, totodată, prin nivelă 3 circulară cu bula de aer, atingerea unei perpendicularități cât mai bune pentru tubul 14</p>	1 3 5 7  9 11 13 15 17  19  21 23 25 27 29  31 33 35 37 39 41 43  45 47
--	---

metalic de lansare. După această operație de pregătire, se ridică, prin mânerul **18**, greutatea **16** cilindrică metalică de lovire până la armarea automată a acesteia de către pârghia **20** de blocare. În această poziție, greutatea **16** cilindrică metalică de lovire dispune de o energie potențială  $E_p$ :

$$E_p = \rho \cdot g \cdot H \quad (1)$$

unde: -  $\rho$  - densitatea greutății **16** de lovire;  
 -  $g$  - accelerația gravitațională;  
 -  $H$  - înălțimea de lansare a greutății **16** de lovire, în cazul concret valoarea propusă este de 1000 mm.

Prin apăsarea butonului **21** de declanșare, pârghia **20** de blocare eliberează greutatea **16** de lovire, care dobândește în timpul căderii o mișcare uniform accelerată a cărei viteză în medie este dată de raportul dintre spațiul parcurs în unitatea t de timp:

$$v = \frac{s}{t} = \frac{H}{t} = \frac{1000}{t} \quad (2)$$

iar energia  $E_c$  cinetică la impact are expresia:

$$E_c = \frac{m \cdot v^2}{2} \quad (3)$$

unde:  $m$  - masa greutății **16** de lovire;

$v$  - viteza la impact a greutății **16** de lovire cu corpul **7** cilindric.

Vectra  $v$  a greutății **16** de lovire se determină raportând spațiul parcurs de aceasta la timpul scurs din momentul lansării ei (declanșarea unui cronometru electronic din unitatea **25** electronică centrală prin intermediul contactorul **23** electric) până la impactul cu corpul **7** cilindric (oprirea cronometrului electronic prin prima valoare măsurată a forței dinamice). După impact, mișcarea penetratorului este uniform decelerată, ea scăzând la valoarea zero atunci când energia cinetică a fost compensată de energia de reacție a solului.

În urma înregistrării electronice a perechilor de valori: forță dinamică  $F_d$  de impact și adâncime  $h$  de pătrundere, precum și a redării grafice pe cale electronică a acestei dependențe, rezultă un grafic, aşa ca în fig. 4. Din interpretarea automată a acestei corelații, cu ajutorul unui soft specializat, se pot determina următoarele mărimi, ce caracterizează comportarea solului la solicitări dinamice:

Rezistență dinamică la penetrare  $R_d$  ca fiind dată de valoarea maximă a forței  $F_d$  dinamice, raportată la adâncimea  $h$  de pătrundere corespunzătoare (fig. 4):

$$R_d = \frac{F_d}{h} \quad [daN / mm^2] \quad (4)$$

Modulul  $E_p$  elastic dinamic de pătrundere ca fiind dat de valoarea tangentei unghiului  $\alpha$  format de dreapta tangentă dusă din origine la curbă și ordonată (fig. 4):

$$E_p = \operatorname{tg} \alpha = \frac{dF_d}{dh} \quad (5)$$

Lucrul Ld mecanic în regim de deformare dinamică ca fiind dat de valoarea ariei suprafeței de sub curbă (fig. 5) exprimată prin integrală:

$$\int_0^h F_d \cdot dh \quad (6)$$

În urma înregistrării electronice a evoluției energiei  $E_c$  în funcție de timp, se obține o reprezentare grafică, așa ca în fig. 6. Din interpretarea automată a evoluției de pe ramura descendente, ce exprimă decelerarea penetratorului în timpul pătrunderii în sol ca urmare a rezistenței opusă de acesta, se pot determina două mărimi reologice importante pentru soluri vâscoplastice (soluri argiloase), și anume, se poate determina comportarea reopexă sau comportarea tixotropă a acestora.

De menționat că aparatul dispune de un sistem de urmărire automată a constanței valorii energiei  $E_c$  cinetice de lovire. În acest sens, valoarea acesteia, calculată cu relația (3), este comparată, în microprocesorul unității **25** electronice centrale cu o valoare prescrisă, determinată pentru o cădere liberă cu frecări minime, efectuată în condiții de perpendicularitate perfectă a tubului **14** metalic de lansare, precum și în lipsa impurităților de pulberi de sol în tubul **14** metalic de lansare. În cazul în care după realizarea solicitării dinamice, valoarea calculată a energiei  $E_c$  cinetice de lovire nu corespunde cu valoarea prescrisă, încercarea nu este validată de microprocesor, deoarece există erori de măsurare datorate unei energii cinetice de impact prea reduse (frecări excesive fie din cauza perpendicularității necorespunzătoare a tubului **14** metalic de lansare, fie din cauza impurităților de sol intrate pe traseul de lansare a greutății **16** de lovire, fie din ambele cauze). Pentru eliminarea erorii semnalate, se înlătură cauzele care au provocat eroarea de măsurare și se repetă determinarea în alt loc, până când valoarea măsurată este validată.

3        Aparat pentru caracterizarea avansată a comportării solului în regim de solicitare  
5        dinamică, aflat în legătură cu o unitate (16) electronică ce asigură achiziția, procesarea și  
7        afișarea datelor măsurate, și care este alcătuit dintr-un penetrator montat cu posibilitate de  
9        acționare a unui senzor (6) piezoelectric de forță dinamică, ce măsoară forța de reacție a  
11      solului și este prevăzut cu niște mijloace de transfer al impulsurilor, montate într-un tub  
13      metalic (14) de lansare, **caracterizat prin aceea că**, în tubul metalic (14) de lansare, sunt  
      montate niște greutăți (15, 16 și 17) de lovire interschimbabile și de mase diferite, prevăzute  
      fiecare cu două inele (T) toroidale pentru reducerea frecării și care au posibilitatea de a fi  
      acționate printr-un mâner (18) de ridicare și un mâner (19) de lansare a unei pârghii (20) pre-  
      văzute cu un buton (21) de declanșare a căderii prin împingerea unui arc (22) de compre-  
      siune și acționării unui contactor (23) electric, aflat în legătură cu un senzor (9) inductiv de  
      deplasare a penetratorului.

# RO 129488 B1

(51) Int.Cl.

**G01N 3/42** (2006.01).

**G01N 3/52** (2006.01).

**G01N 3/48** (2006.01)

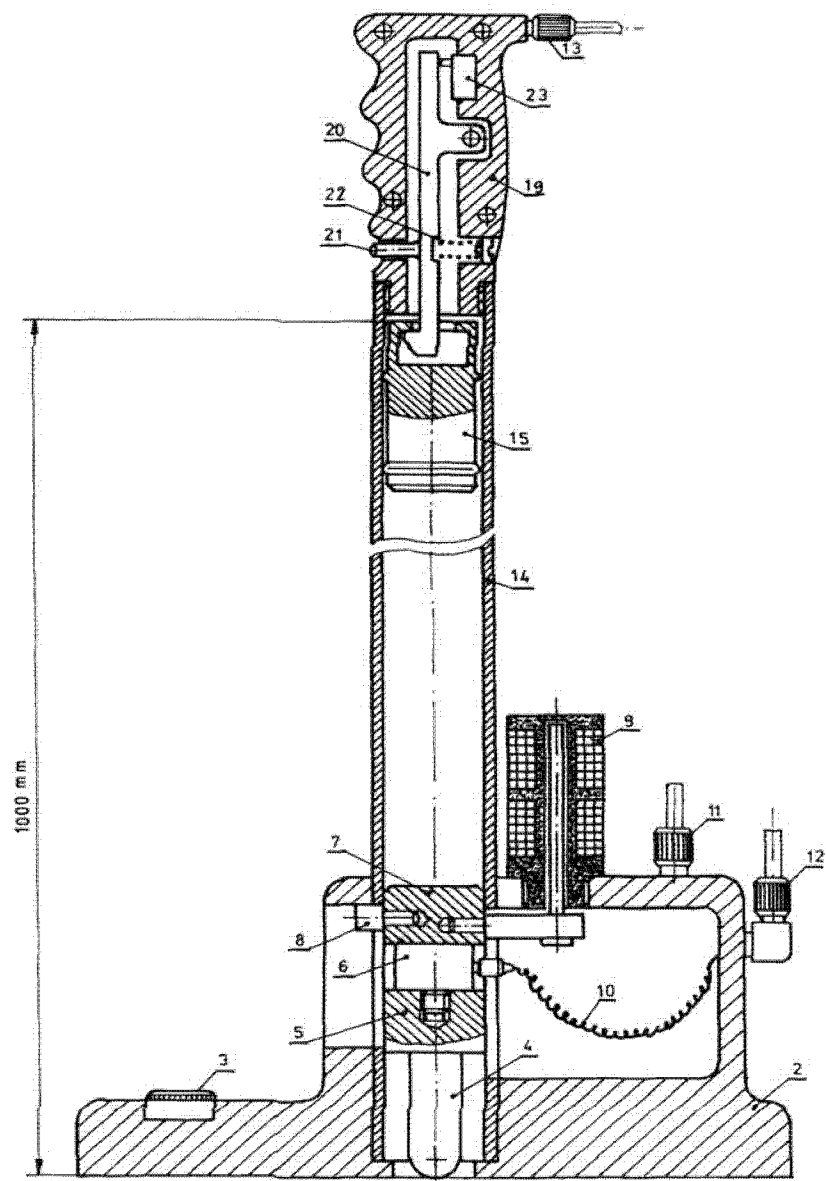


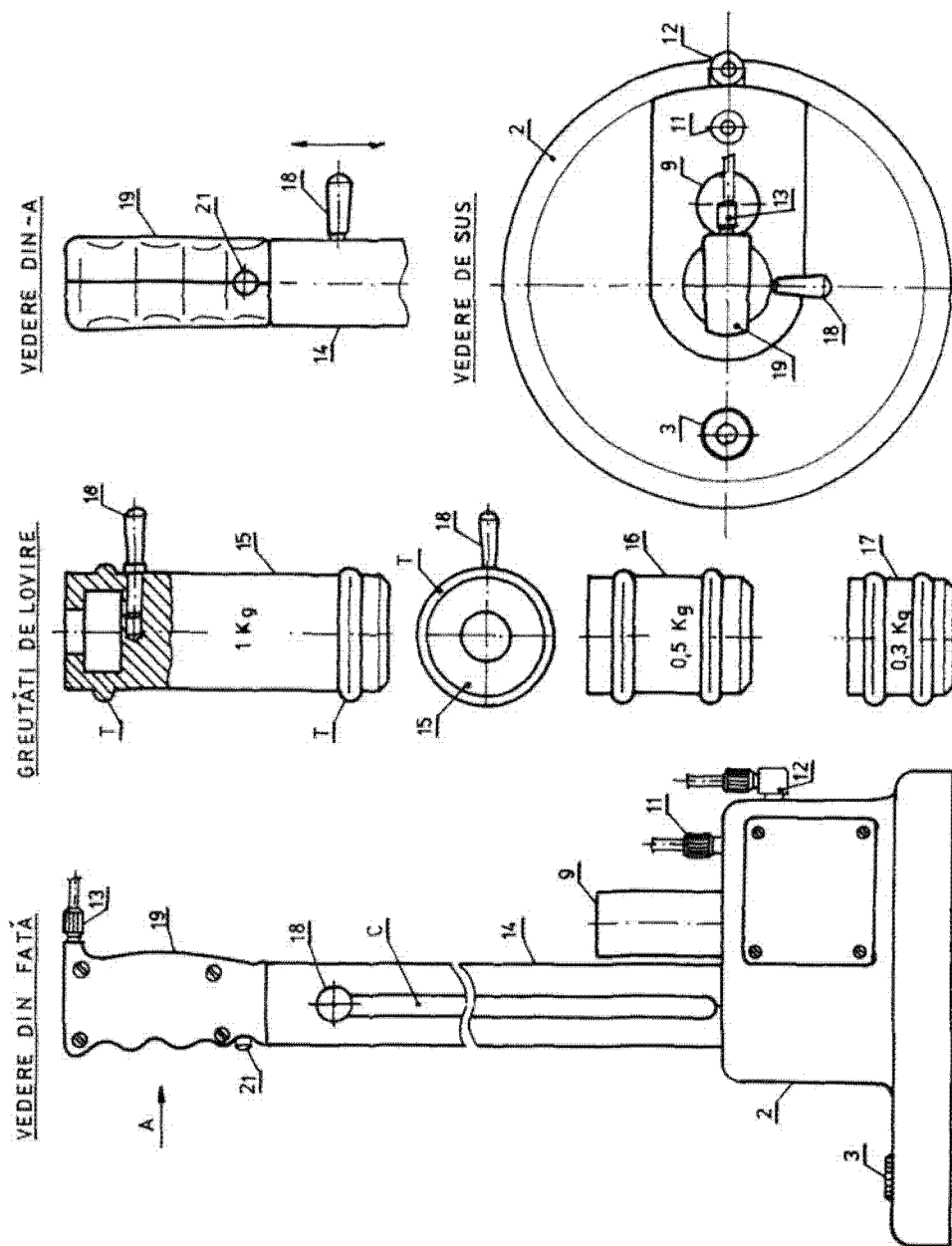
Fig. 1

(51) Int.Cl.

**G01N 3/42** (2006.01);

**G01N 3/52** (2006.01);

**G01N 3/48** (2006.01)



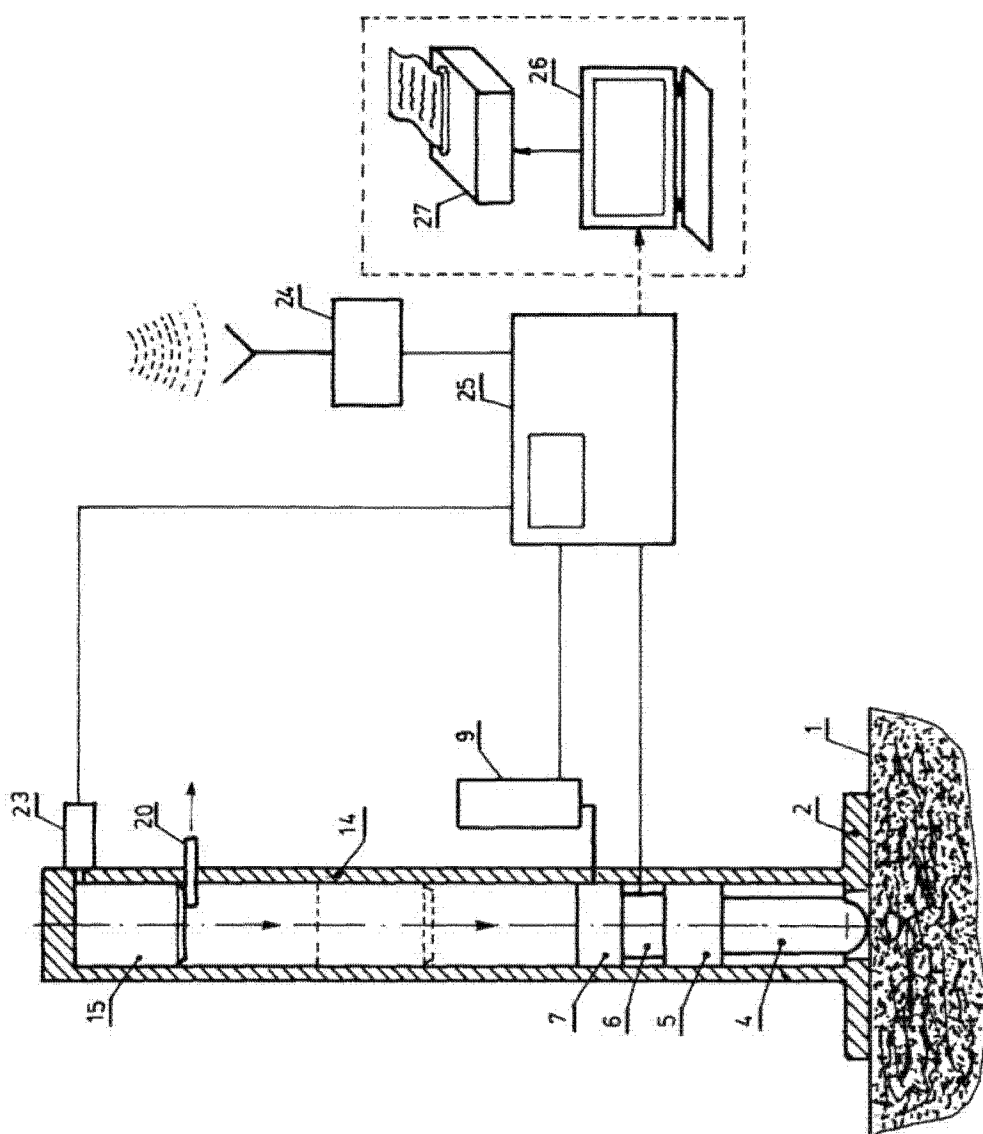
**Fig. 2**

(51) Int.Cl.

**G01N 3/42** (2006.01);

**G01N 3/52** (2006.01);

**G01N 3/48** (2006.01)



**Fig. 3**

# RO 129488 B1

(51) Int.Cl.

**G01N 3/42** (2006.01);

**G01N 3/52** (2006.01);

**G01N 3/48** (2006.01)

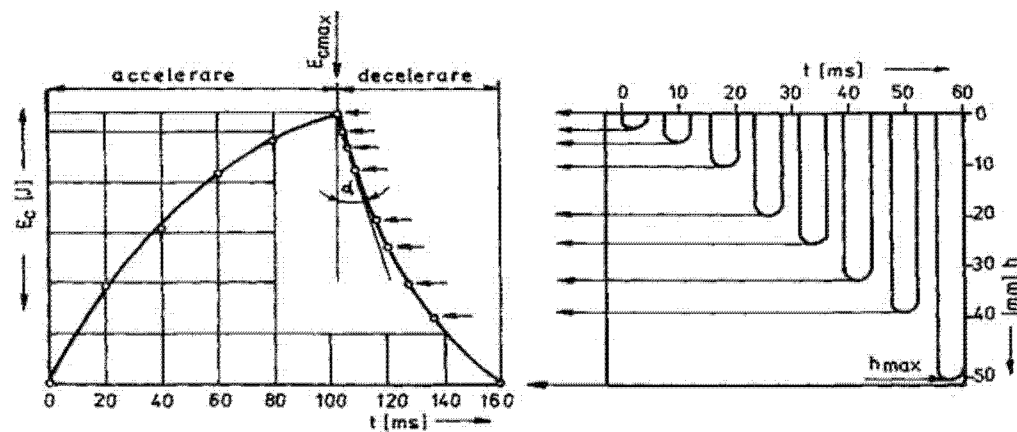


Fig. 4

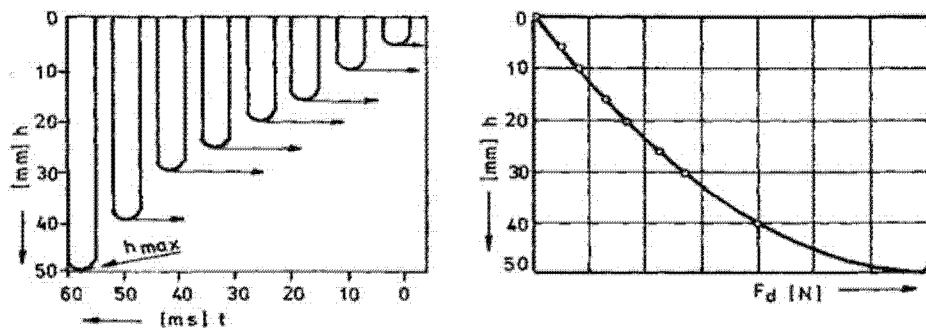


Fig. 5

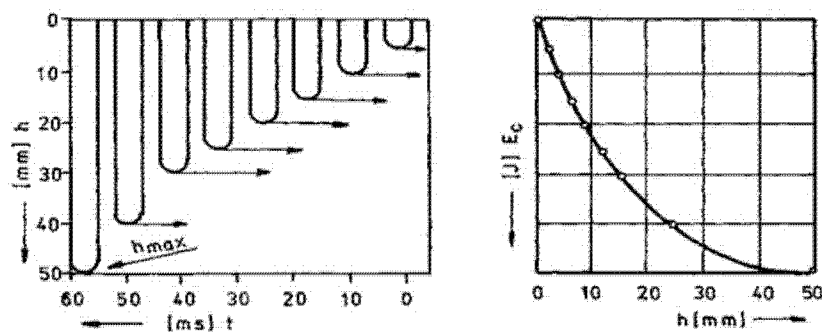


Fig. 6

